

УДК 517.958: 531.327.13

ОБРУШЕНИЕ ВОЛН ПРЕДЕЛЬНОЙ АМПЛИТУДЫ НАД ПРЕПЯТСТВИЕМ

В. Ю. Ляпидевский, Ж. Сюй*

Институт гидродинамики им. М. А. Лаврентьева СО РАН, 630090 Новосибирск

* Институт физической океанографии Океанского университета Китая,
266003 Чиньдао, Китай

E-mail: liapid@hydro.nsc.ru

В длинноволновом приближении изучаются течения однородной тяжелой жидкости над неровным дном. Предложена математическая модель, учитывающая как дисперсионные эффекты, так и формирование турбулентного верхнего слоя при обрушении поверхностных гравитационных волн. Исследовано асимптотическое поведение нелинейных возмущений на фронте волны и найдены условия перехода от гладких течений к обрушивающимся волнам при стационарном обтекании локального препятствия сверхкритическим потоком.

Ключевые слова: однородная жидкость, сверхкритическое течение, волны предельной амплитуды, обрушение волн.

Введение. Для описания волновых процессов в течениях однородной тяжелой жидкости со свободной поверхностью широко используются математические модели, соответствующие второму приближению теории мелкой воды (различные варианты уравнений Буссинеска [1], уравнения Грина — Нагди [2], уравнения Железняк — Пелиновского [3] и т. д.). Эти уравнения адекватно отражают структуру нелинейных волновых фронтов умеренной амплитуды. Однако в отличие от точной постановки задачи Коши — Пуассона в рамках второго приближения невозможно описать волны предельной амплитуды и получить критерии перехода от гладких волн к обрушивающимся. Процесс обрушения поверхностных волн в последнее десятилетие интенсивно исследуется экспериментально [4–6]. Показано, что при обрушении развивается приповерхностный турбулентный слой, который играет важную роль в формировании волнового фронта. Теоретические модели этого процесса построены только для развитых турбулентных боров [7–9].

В данной работе исследуется математическая модель, учитывающая влияние поверхностного турбулентного слоя на структуру стационарного течения в окрестности локального препятствия.

1. Математическая модель. Уравнения мелкой воды для несжимаемой жидкости с учетом поверхностного турбулентного слоя и негидростатичности распределения давления могут быть записаны в следующем виде (см. [10, гл. 6]):

$$\begin{aligned}h_t + (hu)_x &= -\sigma q, \\u_t + uu_x + g(h + \eta + z)_x + p_x &= 0, \\ \eta_t + (\eta v)_x &= \sigma q,\end{aligned}\tag{1}$$

$$\begin{aligned}v_t + vv_x + g(h + \eta + z)_x &= \sigma q(u - v)/\eta, \\q_t + vq_x &= \sigma((u - v)^2 - (1 + \theta)q^2)/(2\eta).\end{aligned}$$

Здесь h , η — глубина нижнего (потенциального) и верхнего (турбулентного) слоев; u , v — соответствующие средние горизонтальные скорости в слоях; q — среднеквадратичная скорость мелкомасштабного движения в верхнем слое; g — ускорение свободного падения; $z = z(x)$ — форма дна; коэффициенты σ и θ постоянны.

Для замыкания модели нужно выбрать выражение для связанного с эффектами негидростатичности дополнительного давления p на дне канала. При $p \equiv 0$ уравнения (1) представляют собой первое приближение теории мелкой воды с учетом обрушения поверхностных волн. Структура бегущих волн для этой модели исследована в [9, 10]. При $p = p(h, \dot{h}, \ddot{h})$, $\dot{h} = \partial/\partial t + u\partial/\partial x$ получаем обобщение различных моделей, соответствующих второму приближению. Для описания стационарных течений со свободной поверхностью в окрестности локального препятствия используем следующее представление для избыточного давления:

$$p = u^2(2hh_{xx} - h_x^2 + 3k(z_x^2 + hz_{xx}))/6. \quad (2)$$

При $k = 1$ зависимость (2) получена в [11], при $k = 0$ — в [12]. Для стационарных течений система (1), (2) принимает вид

$$\begin{aligned}(hu)_x &= -\sigma q, & (\eta v)_x &= \sigma q, \\uu_x + g(h + \eta + z)_x + (u^2(2hh_{xx} - h_x^2 + 3k(z_x^2 + hz_{xx})))_x/6 &= 0, \\vv_x + g(h + \eta + z)_x &= \sigma q(u - v)/\eta, & vq_x &= \sigma((u - v)^2 - (1 + \theta)q^2)/(2\eta).\end{aligned} \quad (3)$$

Рассматриваются гладкие решения (3), описывающие стационарные возмущения равномерного сверхкритического потока ($h = h_0$, $u = u_0$, $\text{Fr} = u_0/\sqrt{gh_0} > 1$) при обтекании локального симметричного препятствия

$$z(x) = z(-x), \quad z(x) = 0 \quad \text{при} \quad |x| > l. \quad (4)$$

Предполагается, что на достаточно большом расстоянии от препятствия вверх по потоку течение не возмущено, т. е.

$$h \rightarrow h_0, \quad u \rightarrow u_0, \quad \eta \rightarrow 0 \quad \text{при} \quad x \rightarrow -\infty. \quad (5)$$

Требуется найти возможные волновые конфигурации, локализованные в окрестности препятствия. Рассмотрим сначала решение этой проблемы в рамках более простой модели в предположении о том, что поверхностный турбулентный слой отсутствует ($\eta \equiv 0$).

2. Уединенные волны над препятствием. При $\eta \equiv 0$ система (3) редуцируется к модели, полученной в [11]:

$$\begin{aligned}hu &= Q \equiv \text{const}, \\u^2/2 + g(h + z) + u^2(2hh_{xx} - h_x^2 + 3k(z_x^2 + hz_{xx}))/6 &= J = \text{const}.\end{aligned} \quad (6)$$

В работе [11] уравнения (6) использовались для построения транскритических режимов течения над препятствием ($\text{Fr} < 1$).

При $\text{Fr} > 1$ локализованные в окрестности препятствия течения задаются решениями уравнений (6), удовлетворяющими условиям (5) и симметричными относительно начала координат. Такие решения могут быть получены возмущением двух типов течений над ровным дном: равномерного течения и уединенной волны. Поэтому в определенном диапазоне чисел Фруда $\text{Fr} > 1$ в окрестности препятствия могут быть реализованы два различных течения.

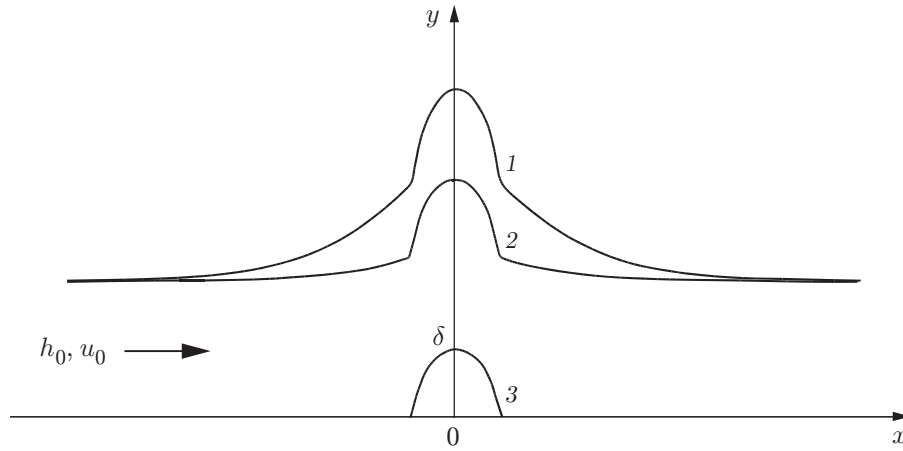


Рис. 1. Сверхкритическое обтекание препятствия (модель (6), $\text{Fr} = 1,5$, $\sigma = 0,15$, $\delta = 0,5h_0$, $k = 0$):

1 — возмущение уединенной волны; 2 — возмущение равномерного течения; 3 — препятствие (полуцилиндр радиуса $R = 0,5h_0$)

Так как течение вне препятствия (при $|x| > l$) представляет собой часть солитона, форма которого может быть найдена интегрированием уравнений при $z = 0$, то (6) редуцируется к одному уравнению первого порядка

$$h_x^2 = \frac{3}{\text{Fr}^2 h_0^3} (h - h_0)^2 (\text{Fr}^2 h_0 - h), \quad (7)$$

решение которого представляется в квадратурах. Заметим, что в (7) использованы условия (5), т. е.

$$Q = h_0 u_0, \quad J = (\text{Fr}^2/2 + 1)gh_0.$$

Таким образом, проблема отыскания симметричных течений в окрестности локального препятствия сводится к построению решений (6) на интервале $(-l, 0)$ со следующими краевыми условиями:

$$h_x|_{x=-l} = \left(\frac{3(\text{Fr}^2 h_0 - h)}{\text{Fr}^2 h_0^3} \right)^{1/2} (h - h_0), \quad h_x|_{x=0} = 0. \quad (8)$$

Решение задачи (6), (8) может быть найдено численно при заданной форме препятствия. Для гладких препятствий простой формы можно показать, что существует критическое значение $\text{Fr}_* > 1$ такое, что при $\text{Fr} > \text{Fr}_*$ задача (6), (8) имеет два решения, причем при увеличении числа Фруда амплитуда волны, соответствующей возмущенному солитону, неограниченно возрастает [13, 14].

На рис. 1 представлены профили симметричных волн при сверхкритическом обтекании локального препятствия (полуцилиндра), полученные возмущением уединенной волны (кривая 1) и равномерного потока (кривая 2) в рамках модели (6) при $k = 0$. В отличие от точной постановки задачи Коши — Пуассона [13] различные модификации уравнений мелкой воды над неровным дном (второе приближение), включая уравнения Кортевега — де Фриза [14, 15], не имеют ограничений на амплитуду волны и, следовательно, не дают критерия перехода от гладких волн к обрушивающимся. В п. 3 показано, что использование модели (3), учитывающей формирование поверхностного турбулентного слоя, позволяет не только определить волны предельной амплитуды, но и описать процесс обрушения волны и развития турбулентного бора.

Отметим, что для коротких препятствий уравнения (6) теряют смысл. В этом случае проблема (6), (8) может быть решена в классе непрерывных кусочно-гладких функций введением в уравнения сосредоточенного воздействия препятствия на длинноволновое движение [16]. Это означает, что стационарное сверхкритическое течение в окрестности препятствия малой протяженности представляет собой некоторую часть солитона при $-\infty < x < 0$ и $0 < x < \infty$ с заданным углом наклона $h_x|_{x=0-0} = -h_x|_{x=0+0}$, зависящим от формы препятствия. В первом приближении этот угол может быть задан следующим образом [16]:

$$h_x|_{x=0-0} = \frac{3}{2} \frac{gh_0}{Q^2} \int_{-l}^l z(x) dx. \quad (9)$$

Задача (6), (9) существенно проще рассмотренной выше проблемы (6), (8), и ее решение может быть найдено в квадратурах.

3. Структура волнового бора в горизонтальном канале. Уравнения (3), описывающие нелинейные волны в однородной жидкости с учетом развития поверхностного турбулентного слоя, существенно сложнее уравнений (6). Тем не менее в канале с ровным дном ($z(x) \equiv 0$) может быть построено решение (3), являющееся аналогом солитона. Рассмотрим нетривиальное решение (3), которое формируется из равномерного потока, т. е.

$$h \rightarrow h_0, \quad \eta \rightarrow 0, \quad u \rightarrow u_0 \quad \text{при} \quad x \rightarrow -\infty. \quad (10)$$

Заметим, что правая часть уравнений (3) сингулярна при $\eta \rightarrow 0$. Поэтому для малых возмущений \tilde{h} , \tilde{u} , $\tilde{\eta}$, \tilde{v} , \tilde{q} равномерного течения

$$h = h_0 + \tilde{h}, \quad \eta = \tilde{\eta}, \quad u = u_0 + \tilde{u}, \quad v = u_0 + \tilde{v}, \quad q = \tilde{q}$$

получаем полулинейную систему, однородную относительно возмущений:

$$\begin{aligned} u_0 \tilde{h}_x + h_0 \tilde{u}_x &= -\sigma \tilde{q}, & u_0 \tilde{\eta}_x &= \sigma \tilde{q}, \\ g(\tilde{h}_x + \tilde{\eta}_x) + u_0 \tilde{u}_x + u_0^2 h_0 \tilde{h}_{xx} / 3 &= 0, & g(\tilde{h}_x + \tilde{\eta}_x) + u_0 \tilde{v}_x &= \sigma \tilde{q}(\tilde{u} - \tilde{v}) / \tilde{\eta}, \\ u_0 \tilde{q}_x &= \sigma((\tilde{u} - \tilde{v})^2 - (1 + \theta) \tilde{q}^2) / (2\tilde{\eta}). \end{aligned} \quad (11)$$

Решения (11) с условиями (10) могут быть представлены в виде $\tilde{h} = \hat{h} e^{\lambda x}$, $\tilde{\eta} = \hat{\eta} e^{\lambda x}$, $\tilde{u} = \hat{u} e^{\lambda x}$, $\tilde{v} = \hat{v} e^{\lambda x}$, $\tilde{q} = \hat{q} e^{\lambda x}$ с положительным параметром λ , удовлетворяющим следующей алгебраической системе уравнений:

$$\begin{aligned} \lambda u_0 \hat{h} + \lambda h_0 \hat{u} &= -\sigma \hat{q}, & \lambda u_0 \hat{\eta} &= \sigma \hat{q}, \\ g \hat{h} + g \hat{\eta} + u_0 \hat{u} + \lambda^2 u_0^2 h_0 \hat{h} / 3 &= 0, & \lambda(g \hat{h} + g \hat{\eta} + u_0 \hat{v}) &= \sigma \hat{q}(\hat{v} - \hat{u}) / \hat{\eta}, \\ \lambda u_0 \hat{q} &= -\sigma((1 + \theta) \hat{q}^2 - (\hat{u} - \hat{v})^2) / (2\hat{\eta}). \end{aligned} \quad (12)$$

Требуется найти нетривиальное решение (12) с дополнительным ограничением $\hat{\eta} > 0$, $\hat{q} > 0$, $\lambda > 0$. Из первых четырех уравнений (12) следуют соотношения

$$\begin{aligned} \hat{u} - \hat{v} &= \frac{(gh_0 - u_0^2)(\hat{h} + \hat{\eta})}{2u_0 h_0}, & \hat{h} &= \frac{3(u_0^2 - gh_0)\hat{\eta}}{h_0^2 u_0^2 \lambda^2 + 3(gh_0 - u_0^2)}, \\ \hat{h} + \hat{\eta} &= \frac{h_0^2 u_0^2 \lambda^2 \hat{\eta}}{h_0^2 u_0^2 \lambda^2 + 3(gh_0 - u_0^2)}. \end{aligned} \quad (13)$$

Следствием (13) является

$$(\hat{u} - \hat{v})^2 = \frac{(gh_0 - u_0^2)^2 h_0^2 u_0^2 \lambda^4 \hat{\eta}^2}{4(h_0^2 u_0^2 \lambda^2 + 3(gh_0 - u_0^2))^2}. \quad (14)$$

Из второго и пятого уравнений (12) получаем

$$(\hat{u} - \hat{v})^2 = (3 + \theta) \hat{q}^2 = (3 + \theta) \lambda^2 u_0^2 \hat{\eta}^2 / \sigma^2. \quad (15)$$

Из (14), (15) выводим квадратное уравнение для значений параметра λ ($\lambda > 0$), при которых существует решение (12), отличное от нуля:

$$h_0^2 u_0^2 \lambda^2 - p h_0 (u_0^2 - g h_0) \lambda + 3(gh_0 - u_0^2) = 0. \quad (16)$$

Здесь $p = \pm \sigma / (2\sqrt{3 + \theta})$. Для сверхкритических течений ($\text{Fr} > 1$) положительные корни уравнения (17) задаются формулой

$$\lambda = \frac{p h_0 (u_0^2 - g h_0) + \sqrt{p^2 h_0^2 (u_0^2 - g h_0)^2 + 12 h_0^2 u_0^2 (u_0^2 - g h_0)}}{2 h_0^2 u_0^2}. \quad (17)$$

Заметим, что для построения аналога солитона в (17) используются положительные значения p и при $\sigma \rightarrow 0$ ($p \rightarrow 0$) значения λ совпадают с соответствующими значениями для солитона, полученными с использованием (7):

$$\lambda = \sqrt{3(\text{Fr}^2 - 1)} / (\text{Fr} h_0).$$

Для заданного числа Фруда ($\text{Fr} > 1$) стационарное решение (3), удовлетворяющее (10), может быть построено с использованием полученной асимптотики. Для околокритических течений ($0 < \text{Fr} - 1 \ll 1$) структура решения (3) с асимптотикой (10), (17) близка к солитону, задаваемому (7), так как относительная толщина верхнего турбулентного слоя мала по сравнению с общей глубиной потока. Тем не менее полученное решение уже не симметрично и представляет собой волновой бор с постепенно нарастающей толщиной турбулентного слоя (см. [10, гл. 6]).

Главное отличие рассматриваемой модели от (6) состоит в том, что волны, описываемые системой (3), достигают предельной амплитуды. Это означает, что существует критическое значение числа Фруда $\text{Fr}^* > 1$ такое, что гладкое решение (3) с асимптотикой (10) не существует при $\text{Fr} > \text{Fr}^*$. Для того чтобы понять причину разрушения гладких решений, рассмотрим систему (3), записанную в виде

$$\begin{aligned} h_x &= w, & u_x &= -\frac{\sigma q + uw}{h}, \\ w_x &= \frac{1}{2h} \left(\frac{6}{u^2} \left(E - g(h + \eta + z) - \frac{u^2}{2} \right) + w^2 - 3k(z_x^2 + h z_{xx}) \right), \\ \eta_x &= \frac{g\eta(w + z_x) + \sigma q(2v - u)}{\Delta}, & v_x &= \frac{\sigma q - v\eta_x}{\eta}, & q_x &= \frac{\sigma}{2\eta v} \left((u - v)^2 - (1 + \theta)q^2 \right), \end{aligned} \quad (18)$$

где $\Delta = v^2 - g\eta$; $E = u_0^2/2 + gh_0$.

Заметим, что при $x \rightarrow -\infty$ решение задачи (18), (10) стремится к равномерному течению экспоненциально. В частности, $v = \hat{v} e^{-\lambda x}$, $\eta = \hat{\eta} e^{-\lambda x}$, поэтому $\Delta = v^2 - g\eta < 0$ при $x \rightarrow -\infty$. Если условие $\Delta < 0$ справедливо для всей области течения вплоть до достижения верхним турбулентным слоем дна канала ($h = 0$), решение (18) над ровным дном ($z = 0$) является гладким и представляет собой волновой бор. Однако в случае, когда функция Δ в (3) обращается в нуль на фронте волны, переход от докритического течения

($\Delta < 0$) к сверхкритическому ($\Delta > 0$) относительно волновой моды, порожденной верхним турбулентным слоем, может осуществляться посредством гидравлического прыжка. Появление в решении гидравлического прыжка и области интенсивного турбулентного перемешивания за ним соответствует развитию “вальца” на переднем склоне обрушивающейся волны. В данной работе разрывные решения (3) не рассматриваются, поэтому в качестве критерия перехода к обрушивающимся волнам используется условие обращения в нуль величины Δ в решениях задачи (3), (10). Для волнового бора критическое значение числа Фруда Fr^* , при котором величина Δ обращается в нуль на фронте первой волны, может быть найдено численно. Над ровным дном $Fr^* \simeq 1,3$ и решение (18), (10) дает следующее значение амплитуды предельной волны:

$$(h + \eta)_{\max} = 1,9h_0 \quad \text{при} \quad Fr^* = 1,3. \quad (19)$$

Полученные в (19) значения согласуются с параметрами уединенной волны предельной амплитуды, найденными из задачи Коши — Пуассона в точной постановке [13].

4. Сверхкритическое течение над локальным препятствием. Вновь рассмотрим стационарное течение над симметричным относительно начала координат гладким препятствием (4) максимальной высоты $\delta = z(0)$, локализованным на интервале $(-l, l)$. Как и для уравнений (6), в окрестности препятствия может быть реализовано два типа сверхкритических течений: 1) течения, полученные возмущением равномерного потока ($h \equiv h_0$, $u \equiv u_0$, $\eta = 0$); 2) стационарные течения, описывающие волновой бор. При этом для $x < -l$ стационарное решение задачи (3), (10) задается однопараметрическим семейством $h = h_1(x - x_s)$, $u = u_1(x - x_s)$, $\eta = \eta_1(x - x_s)$, $v = v_1(x - x_s)$, $q = q_1(x - x_s)$, где точка x_s определяет положение фронта волны относительно препятствия. Для построения волнового профиля над препятствием достаточно решить задачу Коши для (18) с начальными данными при $x = -l$:

$$\begin{aligned} h(-l) = h_1(-l - x_s), \quad u(-l) = u_1(-l - x_s), \quad \eta(-l) = \eta_1(-l - x_s), \\ v(-l) = v_1(-l - x_s), \quad q(-l) = q_1(-l - x_s). \end{aligned} \quad (20)$$

В отличие от случая, рассмотренного в п. 2, решение задачи (18), (20) не является симметричным относительно начала координат из-за развития поверхностного турбулентного слоя. Тем не менее аналог солитона над препятствием может быть построен и для системы (18) в виде особого решения, разделяющего два типа обтекания: течения с подветренными волнами и течения с “градиентной катастрофой”.

Для небольшого препятствия ($\delta \ll h_0$) структура волнового бора изменится незначительно по сравнению с соответствующим решением для горизонтального канала. Для препятствия, сравнимого с глубиной жидкости ($\delta \sim h_0$), в силу нелинейности системы при некоторых значениях x_s решение задачи (18), (20) может разрушиться на конечном участке канала за счет неограниченного возрастания производных (“градиентная катастрофа”). Однако при соответствующем выборе параметра x_s может быть реализован режим обтекания с подветренными волнами. Поэтому в определенной области параметров Fr , δ найдется критическое значение параметра x_s^* , разделяющее различные режимы течения. Именно этот предельный режим обтекания является аналогом локализованного солитонообразного возмущения над препятствием, рассмотренного в п. 2. Численные расчеты показывают, что такой режим обтекания существует в достаточно широкой области определяющих параметров $Fr > 1$ и $\delta > 0$.

Заметим, что локализованное течение над препятствием можно также построить при фиксированном положении фронта волны x_s , изменяя высоту препятствия δ .

На рис. 2 показаны профили волны (сплошные линии — свободная поверхность, штриховые — граница турбулентного слоя) при обтекании сегмента цилиндра сверхкритическим потоком, вычисленные по модели (3) при $k = 0$. Малое изменение высоты препятствия при заданном положении фронта волны дает различные решения задачи (18), (20):

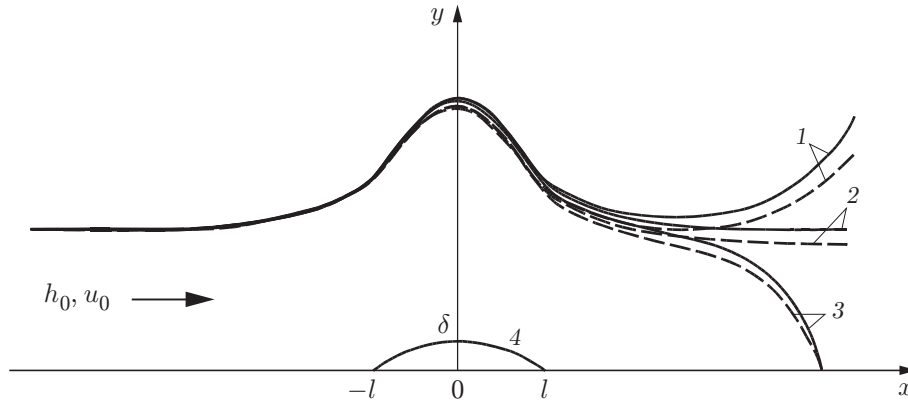


Рис. 2. Сверхкритическое обтекание препятствия (модель (3), $Fr = 1,4$, $\sigma = 0,15$, $\theta = 2$, $k = 0$):

сплошные линии — свободная поверхность; штриховые — нижняя граница турбулентного слоя; 1 — подветренные волны ($\delta = 0,19h_0$); 2 — возмущение уединенной волны ($\delta = 0,2h_0$); 3 — “градиентная катастрофа” ($\delta = 0,21h_0$); 4 — препятствие (сегмент цилиндра радиуса $R = 10h_0$)

подветренные волны (кривые 1), возмущенную уединенную волну (кривые 2), решение с “градиентной катастрофой” (кривые 3). Аналогом симметричного течения, найденного по модели (6) без турбулентного слоя (кривая 1 на рис. 1), является течение, которому соответствует кривая 2.

Как отмечено выше, одной из причин разрушения гладких решений над ровным дном является обращение в нуль величины Δ . Введение в поток локального препятствия позволяет получить гладкие решения бóльшей амплитуды, чем в канале с ровным дном. Тем не менее, как и в горизонтальном канале, при сверхкритическом обтекании локального препятствия существует критическое значение числа Фруда Fr^* такое, что при $Fr > Fr^*$ решение должно содержать гидравлический прыжок, соответствующий в данной модели обрушению волны с возникновением “вальца” на ее гребне. Если в качестве критерия обрушения волны принять обращение в нуль функции Δ на переднем фронте локального возмущения потока препятствием (кривая 2 на рис. 2), то критическое значение Fr^* для заданного препятствия может быть найдено численно. Если длина препятствия l мала по сравнению с глубиной канала h_0 , то можно пренебречь вовлечением жидкости в верхний турбулентный слой над препятствием. В этом случае $\sigma = 0$ и уравнения (3) могут быть сведены к одному уравнению для глубины h после исключения переменных η , v , u из соотношений

$$\begin{aligned} \eta v = \eta_1 v_1 = Q^+, \quad hu = h_1 u_1 = Q^-, \\ v^2/2 + g(h + \eta + z) = v_1^2/2 + g(h_1 + \eta_1) = J^+. \end{aligned} \quad (21)$$

Заметим, что

$$\eta_x = g\eta(h_x + z_x)/\Delta, \quad (22)$$

и в силу (21), (22) симметричное относительно начала координат решение системы (3) при $\sigma = 0$ может быть построено аналогично решению задачи (7), (8) в случае, когда Δ не обращается в нуль. Такое решение приближенно описывает профиль уединенной волны над локальным препятствием. Структура решения (3) еще больше упрощается при учете воздействия препятствия малой протяженности и использовании гипотезы о сосредоточенном влиянии локального изменения формы дна на поток. При этом решение строится

в классе кусочно-гладких функций аналогично (9). Так как $l \ll h_0$, то граничные условия задаются в виде

$$h_x|_{x=0-0} = -h_x|_{x=0+0} = f(h, A),$$

где f — заданная функция; A — площадь сечения препятствия. Таким образом, профиль волны, переводящей течение из сверхкритического в докритическое в окрестности локального изменения глубины канала, получается склейкой решений (3) над ровным дном с соответствующей асимптотикой на больших расстояниях от препятствия. Отметим также, что в каждом из перечисленных выше приближений волны предельной амплитуды находятся из условия обращения функции Δ в нуль в какой-либо точке на фронте волны.

Заключение. Существование волн предельной амплитуды в стационарных течениях тяжелой жидкости в точной постановке (задача Коши — Пуассона) является следствием интеграла Бернулли, примененного к поверхностному слою [13]. Для различных модификаций уравнений мелкой воды этот подход неприменим в силу соответствующих гипотез о распределении горизонтальной компоненты скорости в потоке. Введение в модель тонкого поверхностного слоя позволяет дать математическое описание процесса разрушения гладких волн конечной амплитуды для широкого класса уравнений мелкой воды (первое и второе приближения). Следующий этап исследований состоит в использовании уравнений (3) для построения математической модели обрушивающихся волн, в частности, для определения внутренней структуры течения в турбулентном боре.

ЛИТЕРАТУРА

1. **Уизем Дж.** Линейные и нелинейные волны. М.: Мир, 1977.
2. **Green A. E., Naghdi P. M.** A derivation of equations for wave propagation in water of variable depth // J. Fluid Mech. 1976. V. 78. P. 237–246.
3. **Железняк М. И., Пелиновский Е. Н.** Физико-математические модели наката цунами на берег // Накат цунами на берег: Сб. науч. тр. / АН СССР. Ин-т прикл. физики. 1985. С. 8–33.
4. **Battjes J. A., Sakai T.** Velocity field in a steady breaker // J. Fluid Mech. 1999. V. 380. P. 257–278.
5. **Hornung H. G., Willert C., Turner S.** The flow field downstream of a hydraulic jump // J. Fluid Mech. 1995. V. 287. P. 299–316.
6. **Svendsen I. A., Veeramony J., Bakunin J., Kirby J. T.** The flow in weak turbulent hydraulic jumps // J. Fluid Mech. 2000. V. 418. P. 25–57.
7. **Longuet-Higgins M. S., Turner J. S.** An “entraining plume” model of a spilling breaker // J. Fluid Mech. 1974. V. 63. P. 1–20.
8. **Svendsen I. A., Madsen P. A.** A turbulent bore on a beach // J. Fluid Mech. 1984. V. 148. P. 73–96.
9. **Ляпидевский В. Ю.** Структура турбулентного бора в однородной жидкости // ПМТФ. 1999. Т. 40, № 2. С. 56–68.
10. **Ляпидевский В. Ю., Тешуков В. М.** Математические модели распространения длинных волн в неоднородной жидкости. Новосибирск: Изд-во СО РАН, 2000.
11. **Naghdi P. M., Vongsarnpigoon L.** The downstream flow beyond an obstacle // J. Fluid Mech. 1986. V. 162. P. 223–236.
12. **Serre F.** Contribution à l'étude des écoulements permanents et variables dans les canaux // La Houille Blanche. 1953. V. 8, N 3. P. 374–388.

13. **Vanden-Broeck J.-M.** Free surface flow over an obstruction in a channel // Phys. Fluids. 1987. V. 30, N 8. P. 2315–2317.
14. **Shen S.** Forced solitary waves and hydraulic falls in two-layer flow over topography // J. Fluid Mech. 1992. V. 232. P. 583–612.
15. **Xu Z., Shi F., Shen S.** A numerical calculation of forced supercritical soliton in single-layer flow // J. Ocean Univ. (Qingdao). 1994. V. 24, N 3. P. 309–319.
16. **Miles J. W.** Stationary transcritical channel flow // J. Fluid Mech. 1986. V. 162. P. 489–499.

Поступила в редакцию 14/VII 2005 г.
